

تحلیل فضایی - زمانی رخداد گرد و غبار در غرب ایران

ام‌السلمه بابایی‌فینی^۱، طاهر صفرراد^۲، مصطفی کریمی^{۳*}

f_babaee@pnu.ac.ir

tsafarrad@ut.ac.ir

۱. استادیار اقلیم‌شناسی، گروه جغرافیا، دانشگاه پیام نور

۲. دانشجوی دکتری اقلیم‌شناسی، دانشکده جغرافیا، دانشگاه تهران

۳. استادیار اقلیم‌شناسی، دانشکده جغرافیا، دانشگاه تهران

تاریخ پذیرش مقاله: ۱۳۹۲/۱۲/۴

تاریخ وصول مقاله: ۱۳۹۲/۷/۷

چکیده

پژوهش حاضر سعی دارد رفتار رخداد گرد و غبار در غرب ایران را از منظر مکانی و زمانی تحلیل کند. برای نیل به این هدف از داده‌های آماری گرد و غبار (اخذشده از سازمان هواسازی) ۲۶ ایستگاه منتخب در نیمه غربی ایران با پراکنش مناسب طی دوره بیست ساله (۱۹۸۹-۲۰۰۸) بهره گرفته شده است. برای بررسی رفتار مکانی گرد و غبار از ابزار تحلیل روند و برای بررسی رفتار زمانی آن از روش آماری من کنдал (به علت ناپارامتریک بودن داده‌های فراوانی گرد و غبار) استفاده شد. رفتار مکانی فراوانی گرد و غبار گویای افزایش شمال به جنوب این پدیده به صورت خطی است، حال آنکه در راستای رفتار خطی در داده‌ها مشاهده نشد و مشخص شد که رفتار مکانی وقوع گرد و غبار در این راستا به صورت منحنی (تابع چندجمله‌ای درجه دوم) است به این معنی که افزایش رخداد گرد و غبار با حرکت به سوی شرق و کاهش گرد و غبار با ادامه حرکت به سمت شرق مشاهده می‌شود. با مطالعه رفتار زمانی رخداد گرد و غبار مشخص شد که برخی از ایستگاه‌ها روند صعودی (اراک و خرم‌آباد) و فقط دو ایستگاه قزوین و خرم‌دره روند نزولی (با سطح اطمینان ۹۵ درصد) در فراوانی وقوع گرد و غبار دارند. بررسی تغییر زمان حداقل فراوانی گرد و غبار در منطقه مورد مطالعه نشان داد که ایستگاه‌های یاسوج، قزوین، سنتنج، خرم‌آباد و اراک به سمت ماههای گرم و ایستگاه‌های اردبیل، ارومیه، آبدان، اهواز، پارس‌آباد، تبریز، خرم‌دره، خوی، دزفول، دهلهزان، زنجان، سقز، شهرکرد، کرمانشاه و همدان به سمت ماههای سرد جابه‌جا شده‌اند و در سایر ایستگاه‌ها (ایلام، امیدیه، ماکو، اسلام‌آباد غرب و میانه) جابه‌جایی محسوسی به سمت ماه گرم یا سرد مشاهده نشده است.

کلیدواژه

تحلیل روند، تحلیل فضایی، گرد و غبار، من کنдал، نیمه غربی ایران.

مخاطرات پدیده گرد و غبار و در حالت تشدید آن توفان‌های گرد و غبار است که در مناطق خشک و نیمه‌خشک استعداد وقوع بیشتری دارد. پدیده گرد و غبار رویدادی طبیعی است و در مناطقی حادث می‌شود که دارای بخش‌های وسیعی از مناطق خشک و بیابانی، فاقد پوشش گیاهی و دیگر پوشش‌های سطحی است. دوره‌های خشکسالی طولانی و دخالت‌های غیراصولی در طبیعت

سیاره زمین از بد پیدایش مستخوش مخاطرات محیطی بوده است. این مخاطرات در سال‌های اخیر به طور مستمر در سطح جهان به وقوع پیوسته است که از بین آن‌ها گروهی که از دخالت عوامل و عناصر جوی سرچشمه گرفته‌اند خسارات جانی و مالی فراوانی در مناطق مختلف ایجاد کرده‌اند (Kutiel and Furman, 2003). یکی از این

۱. سرآغاز

سمت ایران معرفی کردند. فراوانی توفان‌های گرد و غبار در ایران با استفاده از منطق فازی خوشبندی شده و تعداد چهار خوش به دست آمده است که شامل غرب و شرق کوههای زاگرس و شمال‌غرب ایران بوده و مشخص شده Dodangeh, et al., (2012). بستر دریاچه‌ها و مناطق بیابانی همانند صحرای بزرگ آفریقا منابع مهم تولید گرد و غبار و تراکم و ساختار پوشش گیاهی نیز به منزله دو عامل مهم در وقوع و فراوانی توفان‌های گرد و غبار به شمار می‌روند (Engestadler, 2001). بررسی ویژگی توفان‌های گرد و غبار آسیا با منشأ دریایی طی سال‌های ۲۰۰۲-۲۰۰۰ نشان داد که ۶۴ درصد توفان‌ها از دریاهای چین منشأ می‌گیرند و از غرب به شرق نیز قوی‌تر می‌شوند (Kai and Gao, 2007).

کاربرد شبکه‌های عصبی مصنوعی برای پیش‌بینی توفان‌های گرد و غبار در شمال‌غرب چین نشان داد که با به کارگیری شبکه‌های عصبی مصنوعی می‌توان به طور Huang, et al., (2006). تحلیل آماری وزش توفان در استان یزد با استفاده از اطلاعات ساعات سینوب^۱ فرعی ایستگاه‌های سینوپتیک استان یزد و نواحی مجاور طی دوره آماری ۱۹۸۰-۱۹۹۹ از سوی طالبی (۱۳۸۴) نشان داد وزن توفان در ساعات ۱۲ گرینویچ با ۲۸ مورد بیشترین فراوانی و در ساعات ۰۳ گرینویچ با ۲ مورد وزش کمترین فراوانی را دارد. اختصاصی و همکاران (۱۳۸۹) به مقایسه و بررسی روند خشکسالی و وقوع گرد و غبار (مطالعه موردنی: شهرستان‌های پرداختند. نتیجه این مطالعه نشان داد که با وجود خشکسالی، گرد و غبار در منطقه روندی تقریباً ثابت داشته که بیانگر توقف فعالیت‌های مخرب انسانی در منابع طبیعی و مؤثربودن اقدامات بیابان‌زدایی و توسعه فضای سبز در محدوده مورد مطالعه است.

امیدوار (۱۳۸۹) با تحلیلی از رژیم بادهای شدید و توفانی یزد نتیجه گرفت، ۷۷ درصد بادهای شدید از سمت ۲۵۰ تا ۳۲۰ درجه و با سرعت بین ۱۵-۲۹ متر بر ثانیه

عامل اصلی افزایش این پدیده است. این پدیده علاوه بر کاهش قدرت دید افقی دارای آثار زیست‌محیطی به ویژه در سلامت انسان است (اسماعیلی، ۱۳۸۵).

مطالعات متنوعی در راستای شناخت ابعاد مختلف این پدیده در مناطق مختلف جهان شکل گرفته است. این بررسی‌ها با توجه به هدف و مواد خود روش‌های مختلفی اعم از آماری، سینوپتیکی- دینامیکی، تهیه و زیست‌محیطی و مدل‌سازی استفاده کرده‌اند. یکی از این روش‌ها مطالعه آماری پدیده گرد و غبار به منظور تحلیل زمانی این پدیده نشان می‌دهد که تعداد روزهای این پدیده در حال افزایش و بیشترین فراوانی آن مربوط به ماههای جون و جولای است و در بین مطالعات انجام گرفته فقط یک مورد روند کاهشی نشان می‌دهد (Zaravandi, et al., 2011) مهرشاهی و نکونام، ۱۳۸۸؛ صلاحی، ۱۳۸۹؛ فرج‌زاده و علیزاده، ۱۳۹۰؛ امیدوار و نکونام، ۱۳۹۰؛ دادر و همکاران، ۱۳۹۰؛ خورانی و همکاران، ۱۳۹۱). تحلیل مکانی این پدیده بیانگر آن است که مناطق عمده فعالیت توفان‌های گرد و غبار در بیابان‌های ماسه‌ای و دیگر بیابان‌ها، که اکوسیستم آن‌ها به وسیله انسان متاثر شده است، قرار گرفته است (Indoitu, et al., 2012)؛ علیزاده و همکاران، (۱۳۹۱) با بررسی توزیع فضایی و مکانی توفان‌های گرد و غبار مشخص شد که وقوع این توفان‌ها با شرایط اقلیمی محل مانند بارش، دما، ویژگی‌های سطح زمین از قبیل پوشش Nickling and گیاهی و برف ارتباط نزدیکی دارد (Brazel, 1984; Abobakr, et al., 1987; Jugder, et al., 2011؛ جلالی و همکاران، ۱۳۹۱؛ کریمی و شکوهی، ۱۳۹۰).

عزیزی و همکاران (۱۳۹۱) فرایندهای ترمودینامیکی در فصل گرم و فرایندهای دینامیکی در فصل سرد را مهم‌ترین عامل در شکل گیری و انتقال گرد و غبار به نیمه غربی کشور بیان کردند. شمسی‌پور و صفرراد (۱۳۹۱) مکان‌گزینی محور ناوه و منطقه واگرایی بالایی در تراز ۵۰۰ هکتارپاسکال و شکل‌گیری سلول کم‌فشار حرارتی در سطح زمین را علت اصلی شکل‌گیری و هدایت گرد و غبار به

نزدیک شدن مناطق جنوبی به منشأ گرد و غبار، افزایش یافته است. نتایج تحلیل همبستگی میانگین دمای ماهانه با شاخص غبار آلودگی نشان داد که همبستگی مستقیم بین این دو پارامتر وجود دارد (کرمانشاه، ۱۳۹۰). تحلیل روند وقوع توفان‌های رعد و برقی در نیمة غربی ایران با کاربرد آزمون‌های ناپارامتری نشان داد که نیمة غربی ایران از لحاظ تعداد وقوع روزهای همراه رعد و برق منطقه همگن نبوده است و مشاهدات در مقیاس سالانه از شمال به سمت جنوب کاهش می‌یابد. برای نمادسازی چنین تغییراتی، نقشه‌های توزیع مکانی روند روزهای رعد و برقی در مقیاس فصلی و سالانه، در محیط نرم‌افزار ArcGIS مدل‌سازی و نمایش داده شد. مدل‌های نهایی بیانگر این واقعیت‌اند که مشاهدات اخذشده از اکثر ایستگاه‌های تحت مطالعه در مقیاس‌های فصلی و سالانه روند افزایشی دارند (رسولی و جوان، ۱۳۹۱).

تحقیقات انجام‌شده پدیده گرد و غبار را از طریق روش‌های آماری خوشبندی و مطالعه و برخی دیگر منشأ و نحوه ورود گرد و غبار به کشور را بررسی کرده‌اند. با وجود مطالعات ارزشمند صورت گرفته، در خصوص نحوه تغییرپذیری زمانی و مکانی این پدیده در کشور فقر اطلاعاتی وجود دارد. پژوهش حاضر سعی دارد تغییرپذیری زمانی و مکانی پدیده گرد و غبار را از منظر آماری، تحلیل و بررسی کند. در این راستا از ابزارهایی برای کشف روند مکانی و بررسی روند زمانی در دو مقیاس سالانه و ماهانه بهره گرفته شده است.

۲. داده‌ها و منطقه تحت مطالعه

داده‌های استفاده شده شامل داده‌های آماری گرد و غبار (اخذشده از سازمان هواشناسی، کد دیدبانی^۶) به صورت روزانه طی ۸ دیدبانی ساعتی در دوره بیست ساله‌اند (۱۹۸۹-۲۰۰۸) که ۲۶ ایستگاه منتخب در نیمة غربی ایران با پراکنش مناسب (شکل ۱) را دربر می‌گیرند.

می‌وزند. بادهای غالب از سمت شمال‌غرب و غرب می‌وزند و بیش از ۵۰ درصد بادهای توفانی در ماههای اردیبهشت و فروردین می‌وزند. پتانسیل انرژی باد در ایستگاه‌های حوضه آبریز رودخانه ارس جنوبی با استفاده از داده‌های بلندمدت سه ساعتۀ سمت و سرعت باد، بررسی شد. ویژگی‌های باد با استفاده از فرمول‌های گوناگون از جمله ضریب تغییرات و تداوم باد و تغییرات سرعت باد نسبت به ارتفاعات تحلیل شده که بیانگر درصد وزش و توان باد در ایستگاه سینوپتیک اردبیل بیشتر از سایر ایستگاه‌هاست (اماکنی و حسینی شمع‌چی، ۱۳۸۹). زهرایی (۱۳۹۰) با استفاده از روش ناپارامتریک Sen's به مدل‌سازی تغییرات و برآورد سری‌های زمانی پدیده گرد و غبار زاهدان طی نیم سده اخیر ۱۹۵۱-۲۰۰۵ پرداخته و پس از تعیین روند برای مقیاس ماهانه به تعیین معادله‌های شبیه گرفته، اکثر گرد و غبارها در نیمة گرم سال (بهار و تابستان) به وقوع می‌پیوندد که در هر دو فصل روند تغییرات در جهت صعودی و دارای روند افزایشی است و در دوره سرد سال به استثنای مهر روندی مشاهده نشده است.

در بررسی شرایط جوی تشdiidکننده توفان گرد و غبار ورودی از مرزهای غربی کشور، سعی شده با استفاده از مدل جوی WRF، که مدلی جامع در شبیه‌سازی فرایندهای هواشناسی است، پارامترهایی نظیر سرعت‌های اصطکاکی، سرعت باد در سطح زمین و ضخامت لایه مرزی توفان گرد و غبار خرداد سال ۸۸ مدل‌سازی و ارتباط خروجی‌های WRF با انتشار ذرات گرد و غبار و میدان‌های جريان در آن رویداد بررسی شود (حمیدی و همکاران، ۱۳۹۰). بررسی علل وقوع گرد و غبار در مناطق غربی کشور و تأثیر آن در تغییرات اقلیمی نتیجه داد که حوزه غرب ایران تحت تأثیر سیستم انتقال گرد و غبار بوده و اثر این سیستم در غرب ایران از شمال به جنوب منطقه، با توجه به

می‌شود. در مقایسه هر جفت (x_i, y_i) با (x_j, y_j) , $i = 1, 2, \dots, n$ هر آن‌وژ، اگر $x_j > x_i$ و $y_j > y_i$ یا $x_i < x_j$ و $y_j < y_i$ برقرار باشند، زوج‌ها همنواً و در غیر این صورت ناهمنوای خوانده می‌شوند. سپس، تعداد زوج‌های همنوا (n_{con}) و ناهمنوای (n_{dis}) برای همه مقایسه‌های زوجی شمارش می‌شوند و ضریب همبستگی تاو کندال از رابطه زیر محاسبه می‌شود (رحیم‌زاده، ۱۳۹۰: ۳۲۵).

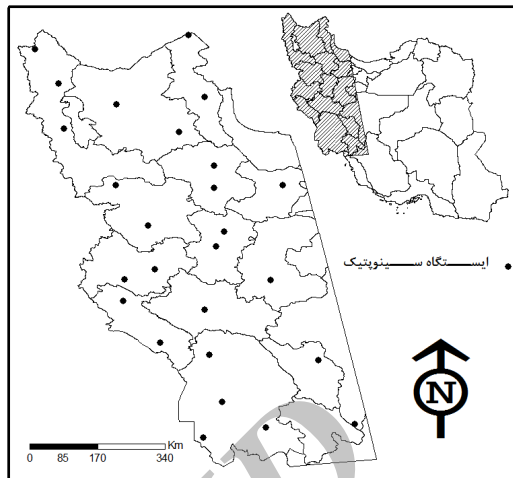
$$r_{kt} = \frac{n_{con} - n_{dis}}{\frac{1}{2}n(n-1)}$$

مبناً نظری آزمون من کندال که در بررسی روند خطی با غیرخطی در اغلب گزارش‌ها تخصصی توصیه شده، مطابق منطق تاو کندال است. برای این آزمون، مقایسه محدود به سری زمانی مورد نظر است. اولین مرحله، دادن رتبه سری زمانی است. فرض می‌شود y_t رتبه‌های مقادیر سری زمانی است. در مرحله اول رتبه مربوط به مشاهده اول با دنباله‌های مقایسه $y_{t+1}, y_{t+2}, \dots, y_{t+n-1}$ مقایسه می‌شود. به عبارت دیگر، $n-1$ بار مقایسه صورت می‌گیرد که می‌توان آن را با n_1 نمایش داد. در مرحله بعد y_t با تمام دنباله‌های $y_{t+1}, y_{t+2}, \dots, y_{t+n-1}$ مقایسه می‌شود. می‌توان گفت $n-2$ بار مقایسه صورت می‌گیرد که این بار با n_2 نمایش داده می‌شود. این کار تا مقایسه y_{t+n-1} با y_n ۱ بار ادامه می‌یابد. در هر مقایسه اگر به ازای $j > i$ آنگاه $y_i > y_j$ باشد، ۱ واحد به n_i اضافه می‌شود. آنگاه آماره من کندال از رابطه زیر محاسبه می‌شود.

$$T_{mk} = \sum_{k=1}^{n-1} n_k$$

برای n ‌های بزرگ‌تر از ۴۰ می‌توان از قضیه حد مرکزی استفاده کرد. امید ریاضی و واریانس T_{mk} از روابط زیر محاسبه می‌شوند.

$$E(T_{mk}) = \frac{n(n-1)}{4}$$



شکل ۱. پراکندگی ایستگاه‌های تحت مطالعه

۳. روش‌شناسی تحقیق

بررسی روند در داده‌ها به دو صورت مکانی و زمانی مطالعه شده است. برای بررسی روند مکانی در داده‌ها از ابزار Trend Analysis در برنامه Arc Map 10 بهره گرفته شد. برای رسیدن به این مهم، فراوانی و میانگین گرد و غبار در تمام ایستگاه‌های مورد مطالعه به صورت سالانه و ماهانه در خصوص طول و عرض جغرافیایی بررسی شدند. برای بررسی روند زمانی در داده‌ها روش‌های متعددی ارائه شده است که می‌توان آن‌ها را به روش‌های پارامتریک (آزمون t، تحلیل روند) و ناپارامتریک (روش من کندال، روش تاو کندال، ضریب اسپیرمن و آزمون سن) تقسیم‌بندی کرد. بر این اساس اولین گام برای انتخاب روش‌های مناسب پارامتریک و ناپارامتریک آگاهی از نرمال‌بودن داده‌هاست. در این راستا نرمال‌بودن داده‌ها بر اساس آزمون کولموگروف- اسمیرنوف^۲ (آزمون K-S) بررسی شد.

تاو کندال و من کندال آزمون‌های ناپارامتریکی به شمار می‌روند که امروزه استفاده از آن‌ها در مطالعات اقلیمی به ویژه در بررسی معنی‌داری روند به سرعت گسترش یافته است (رحیم‌زاده، ۱۳۹۰؛ Nelsen, 1990؛ Abdi, 2007؛ Prokhrov, 2001؛ Nelsen, 2001).

ضریب همبستگی تاو کندال برای همه زوج‌های

می‌تواند بیانگر ثابت‌بودن منابع ورود گرد و غبار به غرب کشور باشد. همان‌طور که در شکل ۲ نشان داده شده است، پدیده گرد و غبار از شمال به جنوب (خط آبی) افزایش و از غرب به شرق (خط قرمز) نیز ابتدا افزایش و دوباره کاهش می‌یابد. خط روند مکانی در شکل زیر از طریق تابع چندجمله‌ای درجه ۲ برآشش داده شده است.

نرم‌البودن داده‌ها بر اساس آزمون کولموگروف- اسمیرنوف (آزمون K-S) بررسی شد (جدول ۱). از آنجا که مقدار sig در داده‌های خام کمتر از ۰/۰۰۵ است لذا فرض H0 (داده‌ها توزیع نرمال دارند) را حداکثر با اطمینان ۰/۹۹۵ در مقابل فرض H1 (داده‌ها توزیع نرمال ندارند) رد می‌کنیم. پس می‌توان گفت که برای قبول نرم‌البودن داده‌ها شواهد کافی در دسترس نیست و این جمله را که داده‌ها توزیع نرمال ندارند، را می‌توان پذیرفت. معناداری روند در داده‌های گرد و غبار، از طریق آزمون من Kendall برای ایستگاه‌های موجود به صورت سالانه (جدول ۲)، فصلی و ماهانه (جدول ۳) بررسی و مشخص شد که برخی ایستگاه‌ها روند نزولی و برخی دیگر روند صعودی دارند. مقایسه مقادیر P-Value به دست آمده از آزمون با سطح بحرانی ۰/۰۵ و ۰/۰۱ معناداری روند را در سطح اطمینان ۹۵ درصد (علامت * در ستون معناداری) و ۹۹ درصد (علامت ** در ستون معناداری) نمایان کرد.

$$\text{Var}(T_{mk}) =$$

$$\frac{1}{18} \left[n(n-1)(2n+5) - \sum_{i=1}^{n\pi} e_i(e_i-1)(2e_i+5) \right]$$

که در آن ne تعداد گروه‌های هم‌رتبه و e_i تعداد داده‌های هر گروه از هم‌رتبه‌هاست.

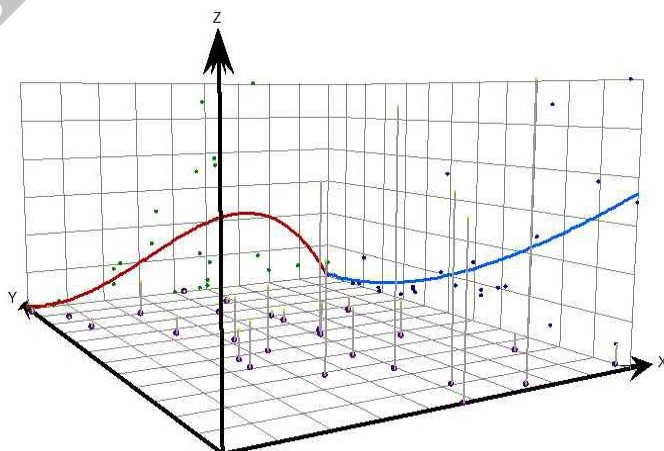
آماره U_{mk} که از رابطه زیر به دست می‌آید دارای توزیع نرمال است.

$$U_{mk} = \frac{T_{mk} - E(T_{mk})}{\sqrt{\text{Var}(T_{mk})}}$$

اگر رابطه $|U_{mk}| > Z_{(1-\alpha/2)}$ برقرار باشد، فرض روند صعودی و نزولی در سطح معنی‌داری α رد می‌شود که در آن $Z_{(1-\alpha/2)}$ از جدول توزیع نرمال به دست می‌آید و مربوط به سطح معنی‌داری α است. همچنین، اگر $U_{mk} < Z_{(\alpha)}$ باشد، روند به ترتیب افزایشی یا کاهشی است (رحیم‌زاده، ۱۳۹۰: ۳۲۷ و ۳۲۸).

۴. یافته‌ها

روند مکانی در داده‌ها با استفاده از فراوانی و میانگین گرد و غبار در تمام ایستگاه‌های مورد مطالعه به صورت سالانه و ماهانه بررسی شد که به علت مشابهت نمودارها فقط برای نمونه میانگین سالانه ایستگاه‌ها آورده شده است. ثابت‌بودن روند مکانی در داده‌ها (سالانه، فصلی و ماهانه)



شکل ۲. روند مکانی داده‌ها در راستای طول (محوری X) و عرض (محور Y) جغرافیایی

جدول ۱. آزمون K-S برای بررسی نرمال بودن داده‌های گرد و غبار در ایستگاه‌های تحت مطالعه

Sig	K-S Z	Most Extreme Differences			Normal Parameters ^{a,b}		تعداد	ایستگاه
		منفی	مثبت	مطلق	انحراف معیار	متوسط		
•	۴/۳۸۷	-۰/۲۸۴	۰/۲۷۷	۰/۲۸۴	۲/۵۲۵	۱/۴۴	۲۳۹	اراک
•	۷/۱۶۷	-۰/۳۲۵	۰/۴۶۳	۰/۴۶۳	۰/۶۱۵	۰/۲۸	۲۴۰	اردبیل
•	۶/۹۴۹	-۰/۳۶۸	۰/۴۴۹	۰/۴۴۹	۱/۰۱۵	۰/۳۴	۲۴۰	ارومیه
•	۵/۱۳۶	-۰/۳۲۷	۰/۳۳۲	۰/۳۳۲	۲/۷۱۱	۱/۲۲	۲۴۰	اسلام‌آباد غرب
•	۲/۰۸۴	-۰/۰۹۶	۰/۱۳۸	۰/۱۳۸	۷/۰۲	۹/۱۵	۲۲۸	امیدیه
•	۲/۲۴۲	-۰/۱۳۷	۰/۱۴۵	۰/۱۴۵	۵/۴۱۹	۵/۹۳	۲۴۰	اهواز
•	۴/۴۱	-۰/۲۸۵	۰/۲۷۳	۰/۲۸۵	۲/۹۱۴	۱/۶۶	۲۴۰	ایلام
•	۲/۴۴۴	-۰/۱۳۴	۰/۱۰۸	۰/۱۰۸	۴/۸۶۶	۵/۳۸	۲۴۰	آبادان
•	۳/۵۷۶	-۰/۲۳۱	۰/۲۱۵	۰/۲۳۱	۲/۰۲۱	۱/۴۹	۲۴۰	تبریز
•	۴/۷۱۵	-۰/۲۸۹	۰/۳۰۴	۰/۳۰۴	۳/۱۸۹	۱/۷۸	۲۴۰	خرم‌آباد
•	۶/۳۱۵	-۰/۳۲۲	۰/۴۰۸	۰/۴۰۸	۱/۲۶۸	۰/۰۹	۲۴۰	خرم‌دره
•	۷/۶۷۴	-۰/۳۳	۰/۴۹۵	۰/۴۹۵	۰/۴۳۵	۰/۱۹	۲۴۰	خوی
•/۰۰۵	۱/۷۲	-۰/۱۱۲	۰/۱۱۷	۰/۱۱۷	۶/۸۶۳	۸/۳۶	۲۱۶	دزفول
•	۶/۹۲۶	-۰/۳۲۸	۰/۴۴۷	۰/۴۴۷	۰/۷۹۵	۰/۳۵	۲۴۰	زنجان
•	۵/۳۵	-۰/۳۲۱	۰/۳۴۵	۰/۳۴۵	۱/۷۱۵	۰/۸	۲۴۰	سقز
•	۴/۳۵	-۰/۱۶۹	۰/۲۸۱	۰/۲۸۱	۲/۷۸۳	۱/۷۲	۲۴۰	سنندج
•	۵/۱۳۱	-۰/۲۸۵	۰/۳۳۱	۰/۳۳۱	۱/۴۴۸	۰/۸۲	۲۴۰	شهرکرد
•	۵/۳۴۲	-۰/۲۹۷	۰/۳۴۵	۰/۳۴۵	۱/۳۵۱	۰/۷۲	۲۴۰	قرزوین
•	۴/۳۲۲	-۰/۲۴۹	۰/۲۷۹	۰/۲۷۹	۳/۵۶۵	۲/۴۱	۲۴۰	کرمانشاه
•	۷/۲۲۲	-۰/۳۲۱	۰/۴۶۶	۰/۴۶۶	۰/۵۸۴	۰/۲۷	۲۴۰	ماکو
•	۷/۷۴۷	-۰/۳۵	۰/۵	۰/۵	۰/۴۸۶	۰/۱۹	۲۴۰	میانه
•	۴/۲۶۱	-۰/۲۷	۰/۲۷۵	۰/۲۷۵	۲/۱۹۶	۱/۳۵	۲۴۰	همدان
•	۶/۱۶۷	-۰/۳۳۵	۰/۳۹۸	۰/۳۹۸	۱/۹۴۹	۰/۸۳	۲۴۰	یاسوج

جدول ۲. بررسی روند سالانه در ایستگاه‌ها با استفاده از آزمون من کندال

معناداری	p-value	Var(S)	S	Kendall	انحراف معیار	متوسط	بیشینه	کمینه	ایستگاه
***	۰/۰۰۱	۹۴۴/۳	۹۹	۰/۵۲۸	۱۸/۸	۱۷/۳	۷۹	۱	اراک
	۱	۹۰۴/۳	-۱	-۰/۶۰۰	۲/۱	۳/۴	۷	۰	اردبیل
	۰/۴۱۲	۹۲۸	۲۶	۰/۱۴۳	۵/۲	۴/۱	۲۰	۰	ارومیه
	۰/۲۰۳	۹۳۶/۷	۴۰	۰/۲۱۶	۲۰/۶	۱۴/۶	۸۸	۰	اسلام‌آباد غرب
	۰/۸۲۳	۹۳۶/۷	۸	۰/۰۴۲	۴۰/۲	۷۱/۱	۱۵۹	۱۲	امیدیه
	۰/۸۷۱	۹۴۶	-۶	-۰/۰۳۲	۱۶/۵	۱۹/۹	۶۸	۲	اهواز
	۰/۶۲۶	۹۴۸	۱۶	۰/۰۸۵	۲۷/۲	۶۴/۶	۱۴۴	۲۶	ایلام
	۰/۰۶۵	۷۳۳/۷	-۵۱	-۰/۳۳۶	۵/۸	۲/۶	۲۱	۰	پارس‌آباد
	۰/۲۶۹	۹۴۷	۳۵	۰/۱۸۶	۱۰/۳	۱۷/۹	۵۱	۲	تبریز
***	۰/۰۰۱	۹۴۶	۱۰۲	۰/۵۴۳	۲۱/۳	۲۱/۳	۸۸	۱	خرم‌آباد
***	۰/۰۰۰۱ >	۹۳۹/۷	-۱۳۳	-۰/۷۱۷	۷/۳	۷/۱	۲۴	۰	خرم‌دره
	۰/۲۵۴	۸۸۷/۷	۳۵	۰/۲۰۴	۱/۶	۲/۳	۶	۰	خوی
	۰/۷۲۱	۹۴۵/۳	۱۲	۰/۰۶۴	۲۸/۶	۴۵/۴	۱۰۳	۶	دزفول
	۰/۱۴	۹۳۰	-۴۶	-۰/۲۵۳	۳/۴	۴/۳	۱۲	۰	زنگان
	۰/۲۵۴	۹۴۳/۳	۳۶	۰/۱۹۳	۹/۸	۹/۶	۳۹	۰	سقز
	۰/۰۶	۹۴۹	۵۹	۰/۳۱	۱۸/۳	۲۰/۶	۷۰	۱	سنندج
	۰/۳۷۸	۹۳۸	۲۸	۰/۱۵۱	۸/۵	۹/۹	۳۲	۱	شهرکرد
***	۰	۹۴۲/۳	-۱۰۹	-۰/۵۸۵	۷/۴	۸/۷	۲۳	۰	قزوین
	۰/۶۹۷	۹۴۷	-۱۳	-۰/۰۶۹	۲۳/۷	۲۹	۹۷	۳	کرمانشاه
	۰/۸۶۹	۹۲۱/۳	۶	۰/۰۳۳	۲/۷	۳/۳	۱۱	۰	ماکو
	۰/۴۲۴	۹۰۲/۳	-۲۵	-۰/۱۴۳	۱/۷	۲/۳	۶	۰	میانه
	۰/۶۲۵	۹۴۴	-۱۶	-۰/۰۸۶	۱۴	۱۶/۲	۴۸	۳	همدان
	۱	۹۳۹/۷	-۱	-۰/۰۰۵	۱۲/۹	۱۰	۵۴	۰	یاسوج

(جدول ۳) و در شکل ۳ و ۴ نشان داده شدند.

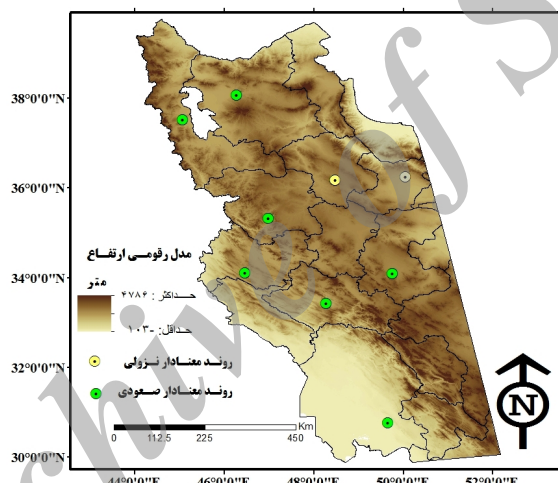
در نهایت ایستگاه‌هایی که دارای روند معنی‌دار در مقیاس اندازه‌گیری سالانه، فصلی و ماهانه بودند مشخص

جدول ۳. ایستگاه‌های دارای روند با سطح اطمینان بیشتر از ۹۵ درصد

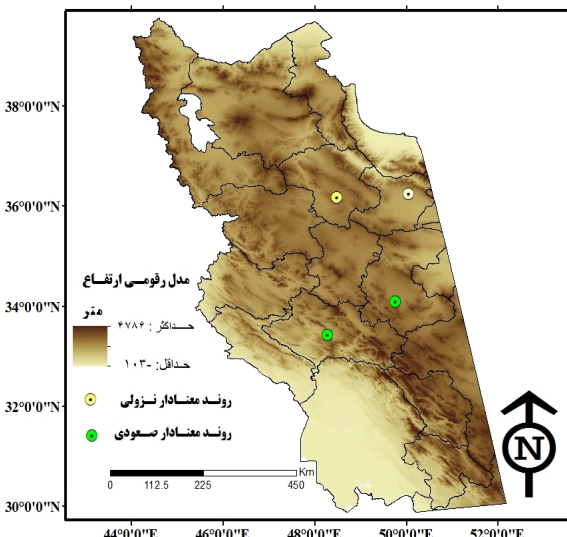
نحوه روند	مقیاس آزمون	
	نژولی	صعودی
خرم‌دره، قزوین	اراک، ارومیه، اسلام‌آباد غرب، امیدیه، تبریز، خرم‌آباد، سنندج	ماهانه
خرم‌دره، قزوین	اراک، ارومیه، اسلام‌آباد غرب، امیدیه، تبریز، خرم‌آباد، سنندج	فصلی
خرم‌دره، قزوین	اراک، خرم‌آباد	سالانه

در هر ایستگاه، سری زمانی ماههای ذکر شده برای هر ایستگاه طی دوره زمانی ۱۹۸۹ تا ۲۰۰۸ ایجاد شد. با ترسیم عدد مربوط هر ماه در مقابل زمان رخداد آن برای هر ایستگاه نمودار پراکنش آن ایستگاه حاصل شد که برآش خط با معادله درجه اول، نحوه سیر تغییرات وقوع گرد و غبار را نمایان کرد. نتیجه درخور توجه در این بررسی، مشخص شدن جهت تغییرات زمانی وقوع گرد و غبار برای هر ایستگاه بود که نشان می‌داد که طی زمان، ماه وقوع بیشترین تعداد گرد و غبار به سمت ماههای گرم یا ماههای سرد جابه‌جا شده است.

در ادامه پژوهش، جابه‌جایی زمانی وقوع گرد و غبار در ایستگاه‌های مورد مطالعه بررسی شد. برای نیل به این هدف، برای هر ایستگاه فراوانی وقوع گرد و غبار ماهانه گردآوری، سپس برای هر سال ماهی که دارای بیشترین وقوع گرد و غبار بود مشخص شد (جدول ۴). برای نمونه، در ایستگاه اراك بیشترین تعداد گرد و غبار سال ۱۹۸۹ در ماههای پنجم و هفتم (می و جولای) رخ داده یا بیشترین وقوع گرد و غبار در سال ۲۰۰۸ برای ایستگاه یاسوج در ماه ششم (ژوئن) ثبت شده است. با مشخص شدن ماه وقوع حداقل رخداد گرد و غبار



شکل ۳. ایستگاه‌های دارای روند با سطح اطمینان بیشتر از ۹۵ درصد در مقیاس ماهانه و فصلی



شکل ۴. ایستگاه‌های دارای روند با سطح اطمینان بیشتر از ۹۵ درصد در مقیاس سالانه

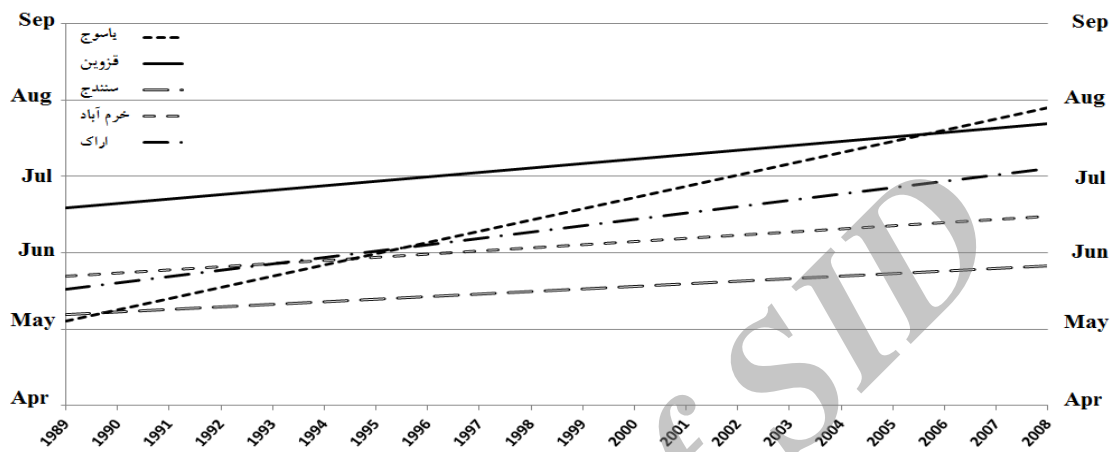
جدول ۴. استخراج ماه و قوع حداکثر تعداد گرد و غبار ایستگاه‌ها طی دوره آماری

ایستگاه‌ها	۱۹۸۹											
	تعداد	ماه										
ازک	۲	۷	۵	۲	۱	۰	۵	۰	۴	۱	۰	۰
اردبیل	۲	۲	۰	۱	۰	۰	۰	۰	۰	۰	۰	۰
آرموده	۰	۰	۰	۰	۰	۰	۰	۰	۰	۰	۰	۰
اسلام آباد غرب	۱۳	۰	۰	۰	۰	۰	۰	۰	۰	۰	۰	۰
امیدیه	۰	۰	۰	۰	۰	۰	۰	۰	۰	۰	۰	۰
آهواز	۰	۰	۰	۰	۰	۰	۰	۰	۰	۰	۰	۰
ایلام	۰	۰	۰	۰	۰	۰	۰	۰	۰	۰	۰	۰
پارس آباد	۰	۰	۰	۰	۰	۰	۰	۰	۰	۰	۰	۰
پیروز	۰	۰	۰	۰	۰	۰	۰	۰	۰	۰	۰	۰
خرم آباد	۰	۰	۰	۰	۰	۰	۰	۰	۰	۰	۰	۰
خرم دره	۰	۰	۰	۰	۰	۰	۰	۰	۰	۰	۰	۰
جنوی	۰	۰	۰	۰	۰	۰	۰	۰	۰	۰	۰	۰
رزفول	۰	۰	۰	۰	۰	۰	۰	۰	۰	۰	۰	۰
دهران	۰	۰	۰	۰	۰	۰	۰	۰	۰	۰	۰	۰
زنجان	۰	۰	۰	۰	۰	۰	۰	۰	۰	۰	۰	۰
سفرز	۰	۰	۰	۰	۰	۰	۰	۰	۰	۰	۰	۰
سنندج	۰	۰	۰	۰	۰	۰	۰	۰	۰	۰	۰	۰
شهرکرد	۰	۰	۰	۰	۰	۰	۰	۰	۰	۰	۰	۰
قزوین	۰	۰	۰	۰	۰	۰	۰	۰	۰	۰	۰	۰
کرمانشاه	۰	۰	۰	۰	۰	۰	۰	۰	۰	۰	۰	۰
ماکو	۰	۰	۰	۰	۰	۰	۰	۰	۰	۰	۰	۰
میانه	۰	۰	۰	۰	۰	۰	۰	۰	۰	۰	۰	۰
همدان	۰	۰	۰	۰	۰	۰	۰	۰	۰	۰	۰	۰
همدان نوره	۱۱	۰	۰	۰	۰	۰	۰	۰	۰	۰	۰	۰
پرسوچ	۰	۰	۰	۰	۰	۰	۰	۰	۰	۰	۰	۰

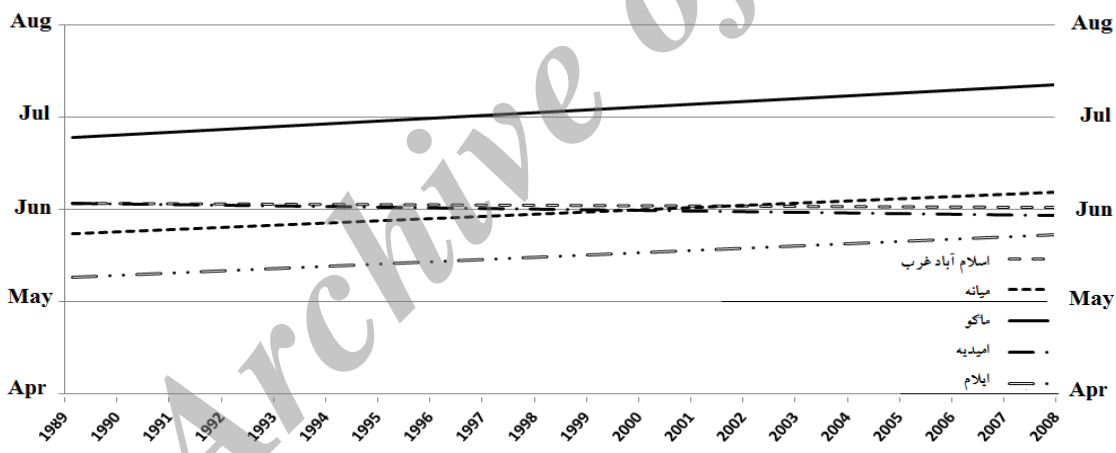
ادامه جدول ۴. استخراج ماه وقوع حداقل تعداد گرد و غبار ایستگاهها طی دوره آماری

می‌دهد (شکل ۶). در نهایت، گروه سوم جابه‌جایی به سمت ماه‌های سرد را نشان می‌دهد (شکل ۷) که پراکنش همه آن‌ها در شکل ۸ ارائه شده است.

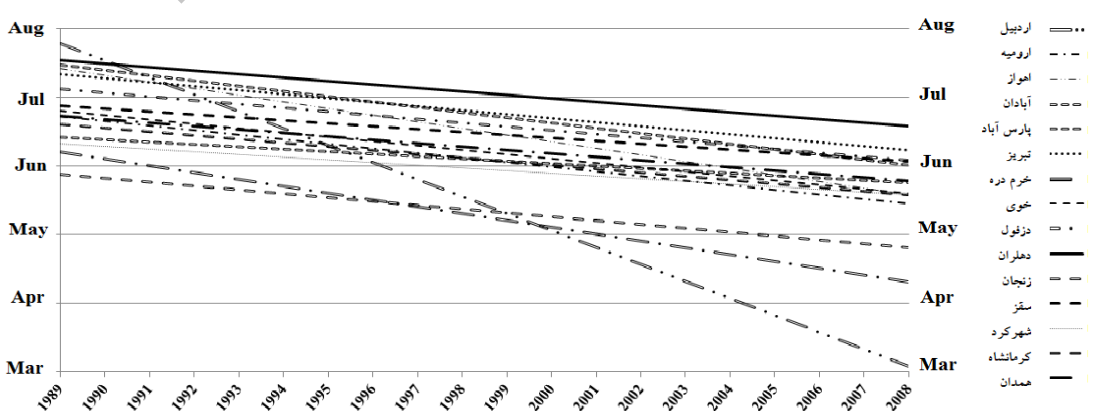
بررسی انجام‌گرفته سبب تفکیک ایستگاه‌های تحت مطالعه به سه گروه شد. گروه اول، جابه‌جایی بیشینه رخداد گرد و غبار را به سمت ماه‌های گرم (شکل ۵) و گروه دوم، جابه‌جایی کمتر از یک ماه را برای بیشینه گرد و غبار نشان



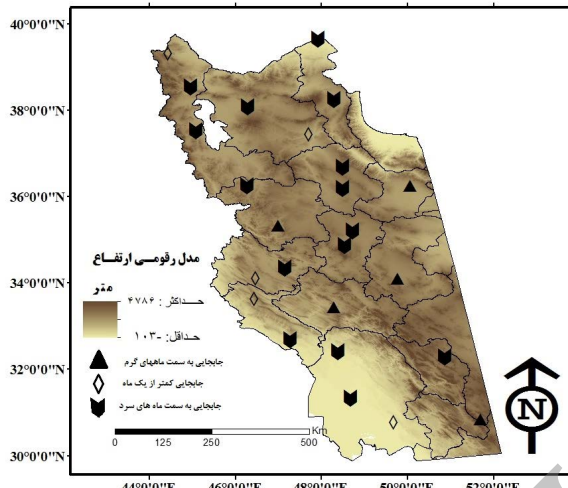
شکل ۵. جابه‌جایی بیشینه رخداد گرد و غبار ایستگاه‌ها به سمت ماه‌های گرم طی دوره ۱۹۸۹ تا ۲۰۰۸



شکل ۶. جابه‌جایی بیشینه رخداد گرد و غبار ایستگاه‌ها در بازه کمتر از یک ماه طی دوره ۱۹۸۹ تا ۲۰۰۸



شکل ۷. جابه‌جایی بیشینه رخداد گرد و غبار ایستگاه‌ها به سمت ماه‌های سرد طی دوره ۱۹۸۹ تا ۲۰۰۸



شکل ۸. پرائکنش فضایی جایگایی بیشینه رخداد گرد و غبار ایستگاه‌ها طی دوره ۱۹۸۹ تا ۲۰۰۸

فقط دو ایستگاه اراک و خرم‌آباد دارای روند صعودی معنادار بودند. همچنین، در دو ایستگاه قزوین و خرم‌دره روند نزولی در فراوانی رخداد گرد و غبار با سطح اطمینان ۹۵ درصد در هر سه مقیاس ماهانه، فصلی و سالانه مشاهده شد.

با مشخص کردن زمان رخداد بیشترین فراوانی گرد و غبار در هر ایستگاه، جایگایی و قوع بیشینه فراوانی گرد و غبار طی سال‌های ۱۹۸۹ تا ۲۰۰۸ بررسی و مشخص شد که بیشینه فراوانی و قوع گرد و غبار در برخی ایستگاه‌ها (یاسوج، قزوین، سنتنچ، خرم‌آباد و اراک) به سمت ماه‌های گرمه و در برخی دیگر (اردبیل، ارومیه، آبادان، اهواز، پارس‌آباد، تبریز، خرم‌دره، خوی، دزفول، دهلران، زنجان، سقز، شهرکرد، کرمانشاه و همدان) به سمت ماه‌های سرد جایگذاشتند. همچنین، در برخی ایستگاه‌ها (ایلام، امیدیه، ماکو، اسلام‌آباد غرب و میانه) جایگایی محسوسی به سمت ماه گرم یا سرد مشاهده نشد.

تشکر و قدردانی

این مقاله مستخرج از طرحی است که با حمایت مالی دانشگاه پیام‌نور با عنوان «تحلیل فضایی- زمانی رخداد گرد و غبار در غرب ایران» به تصویب رسیده است.

۵. نتیجه‌گیری

بررسی روند مکانی در داده‌های گرد و غبار بیانگر این مهم است که داده‌ها در امتداد شمال-جنوب منطقه مورد مطالعه به صورت خطی افزایش می‌یابند در حالی که در امتداد غرب به شرق از تابع چندجمله‌ای درجه ۲ (منحنی با یک قوس) تبعیت می‌کنند. این امر نشان‌دهنده افزایش فراوانی گرد و غبار در راستای حرکت از غرب به سمت شرق، سپس کاهش فراوانی گرد و غبار به سمت شرق منطقه مورد مطالعه مشاهده شده است. به نظر می‌رسد قرارگیری ارتفاعات در امتداد شمال به جنوب به ویژه رشته کوه زاگرس در مسیر پیشروی گرد و غبار سبب این امر شده است. همچنین، ثابت‌بودن رفتار روند مکانی فراوانی گرد و غبار در مقیاس‌های ماهانه، فصلی و سالانه می‌تواند نشان‌دهنده عدم تغییر در منشأ گرد و غبارهای ورودی به منطقه مورد مطالعه در هر سه مقیاس ماهانه، فصلی و سالانه باشد. به عبارت دیگر، منشأ و زمان ورود گرد و غبار در منطقه مود مطالعه دارای نظم خاصی است. روند زمانی فراوانی گرد و غبار در سه مقیاس ماهانه، فصلی و سالانه بررسی شد. روند معنادار صعودی (با سطح اطمینان ۹۵ درصد) در ایستگاه‌های اراک، ارومیه، اسلام‌آباد غرب، امیدیه، تبریز، خرم‌آباد و سنتنچ در دو مقیاس زمانی ماهانه و فصلی مشاهده شد، حال آنکه در مقیاس سالانه

یادداشت‌ها

۱. زمان‌های اندازه‌گیری در ایستگاه‌ها بر مبنای زمان مرجع
جهانی

2. Kolmogorov-Smirnov Test
3. Concordant
4. Discordant

منابع

- اختصاصی، م. ر، شاکری، ف، سلیمانی مطلق، م. ۱۳۸۹. مقایسه و بررسی روند خشکسالی و وقوع گرد و غبار (مطالعه موردی: شهرستان لار، یزد)، دومین همایش ملی فرسایش بادی.
- اسماعیلی، ا. ۱۳۸۵. پنهان‌بندی مقدماتی مراکز اصلی تولید غبار کشور با استفاده از فناوری سنجش از دور، پایان‌نامه کارشناسی ارشد به راهنمایی مسعود تجربی و پیمان دانش کار آراسته، دانشگاه صنعتی شریف.
- امانی، الف، حسینی شمع، ع. ۱۳۸۹. بررسی پتانسیل انرژی باد در ایستگاه‌های حوضه آبریز رودخانه ارس جنوبی، فضای جغرافیایی، شماره ۲۹، صص ۱-۲۶.
- امیدوار، ک، نکونام، ز. ۱۳۹۰. کاربرد گلباد و گل غبار در تحلیل پدیده گرد و خاک و تعیین رژیم فصلی بادهای همراه با این پدیده (مطالعه موردی: شهر سبزوار)، پژوهش‌های جغرافیایی طبیعی، شماره ۷۶، صص ۸۵-۱۰۴.
- امیدوار، ک. ۱۳۸۹. تحلیلی از رژیم بادهای شدید و توفانی یزد، فصلنامه مدرس علوم انسانی، ۱، صص ۸۳-۱۰۵.
- جالالی، م، بهرامی، ح، درویشی بلورانی، ع. ۱۳۹۱. بررسی ارتباط بین فاکتورهای اقلیمی و زمینی با وقوع توفان گرد و غبار با استفاده از تصاویر ماهواره‌ای MODIS (مطالعه موردی: استان خوزستان)، کرج، اولین همایش ملی بیابان.
- حمدی، م، کاویانپور، م. ر، یاری‌زاده، ب. ۱۳۹۰. بررسی شرایط جوی تشدیدکننده توفان گرد و غبار ورودی از مرزهای غربی کشور، تهران، پنجمین همایش تخصصی مهندسی محیط‌زیست.
- خورانی، ا. ۱۳۹۱. بررسی و تحلیل زمانی توفان‌های گرد و غبار در ایستگاه بندرعباس، کرج، اولین همایش ملی بیابان.
- دادفر، ص، اختصاصی، م، شامبندری، ر، کامرانی، ف. ۱۳۹۰. تحلیل توفان‌های گرد و غبار با استفاده از ترسیم گلباد و توفان (مطالعه موردی: استان قزوین)، هفتمین همایش ملی علوم و مهندسی آبخیزداری ایران.
- رحیم‌زاده، ف. ۱۳۹۰. روش‌های آماری در مطالعات هواشناسی و اقلیم‌شناسی، چاپ اول، انتشارات فروزش، تهران.
- رسولی، ع، جوان، خ. ۱۳۹۱. تحلیل روند وقوع توفان‌های رعد و برقی در نیمه غربی ایران با کاربرد آزمون‌های ناپارامتری، جغرافیا و برنامه‌ریزی محیطی، شماره ۳۸-۱۱۱، صص ۱۱۱-۱۲۶.
- زهرایی، ا. ۱۳۹۰. مدل‌سازی روند تغییرات پدیده گرد و غبار شهر زاهدان بر اساس روش‌های آماری ناپارامتریک طی نیم سده اخیر، دومین همایش ملی مقابله با بیابان‌زایی و توسعه پایدار تالاب‌های کویری ایران.
- شمسمی‌پور، ع، صفرزاد، ط. ۱۳۹۱. تحلیل ماهواره‌ای- همدیدی پدیده گرد و غبار، پژوهش‌های جغرافیا طبیعی، شماره ۷۹، صص ۱۱۱-۱۲۶.

صلاحی، ب. ۱۳۸۹. بررسی ویژگی‌های آماری و همدیدی توفان‌های تندری استان اردبیل، پژوهش‌های جغرافیایی طبیعی، شماره ۷۲، صص ۱۲۹-۱۴۲.

طالبی، م. ۱۳۸۴. تحلیل آماری وزش توفان در استان یزد، یزد، اولین همایش ملی فرسایش بادی.

عزیزی، ق.، شمسی‌پور، ع.، میری، م.، صفرزاد، ط. ۱۳۹۱. تحلیل آماری- همدیدی پدیده گرد و غبار در نیمه غربی ایران، محیط‌شناسی، سال سی و هشتم، شماره ۳، صص ۱۲۳-۱۳۴.

علیزاده، م.، کمالیان، ص.، خورانی، ا.، نوحه‌گر، ا. ۱۳۹۱. تأثیر اقلیم در میزان تعداد روزهای دارای گرد و غبار، کرج، اولین همایش ملی بیابان.

فرج‌زاده اصل، م.، علیزاده، خ. ۱۳۹۰. تحلیل زمانی و مکانی طوفان‌های گرد و خاک در ایران، مدرس علوم انسانی - برنامه‌ریزی و آمایش فضای دوره پانزدهم، شماره ۱، صص ۶۵-۸۴

کرمانشاه. ۱۳۹۰. بررسی علل وقوع گرد و غبار در مناطق غربی کشور و تأثیر آن بر تغییرات اقلیمی، پایان‌نامه کارشناسی ارشد به راهنمایی مسعود تجریشی، دانشگاه صنعتی شریف.

کریمی، م.، شکوهی، ک. ۱۳۹۰. اندر کنش گردش جو و پوشش سطح زمین در ساز و کار تشكیل و گسترش توفان‌های گرد و غبار تابستانه خاورمیانه (گرد و غبار تیرماه ۱۳۸۸)، پژوهش‌های جغرافیایی طبیعی، شماره ۷۸، صص ۱۱۳-۱۳۰.

مهرشاهی، د.، نکونام، ز. ۱۳۸۸. بررسی آماری پدیده گرد و غبار و تحلیل الگوی وزش بادهای گرد و غبارزا در شهرستان سیزوار، جغرافیا، شماره ۲۲، صص ۸۳-۱۰۴.

Abdi, H. 2007. Kendall rank correlation. In N. Salkind , Encyclopedia of measurement and statistics, Thousand Oaks, SAGE Publications.

Abobakr, S. A., Adel, A. A., Alhaider, M. A. 1987. Measurement of atmospheric particle size distribution during sand/duststorm in Riyadh Saudi Arabia, Atmospheric Environment, 21, 2723-2725.

Dodangeh, E., Yaping, Sh., Daghe stani, M. 2012. L-Moments and fuzzy cluster analysis of dust storm frequencies in Iran, Aeolian Research, 5, 91-99.

Engestadler, S. 2001. Dust Storm frequencies and their relationships to land surface conditions. Freidrich-Schiller university press. Jena. Germany.

Huang, M. Gongbing, P. Ji ashen, Z. Shihuang, Z. 2006. Application of artificial neural networks to the prediction of dust storms in Northwest China, Global and Planetary Change, 52, 216-224.

Indoitu, R., Orlovsky, L., Orlovsky, N. 2012. Dust storms in Central Asia: Spatial and temporal variations, Journal of Arid Environments, 85, 62-70.

Jugder, D., Shinoda, M., Sugimoto, N., Matsui, I., Nishikawa, M., Park, S., Chun, Y., Park, M. 2011. Spatial and temporal variations of dust concentrations in the Gobi Desert of Mongolia, Global and Planetary Change, 78, 14-22.

Kai, Z., and Gao, H. 2007. The characteristics of Asian-dust storms during 2000–2002: From the source to the sea, Atmospheric Environment, 41, 9136-9145

Kutiel, H., and Furman, H. 2003. Dust storms in the Middle East: Sources of origin and their temporal characteristics, Indoor and Built Environment. 12. 419-426.

Nelsen, R. B. 2001. Kendall tau metric, in Hazewinkel Michiel, Encyclopedia of Mathematics, Springer.

Nickling, W. G., and Brazel, A. J. 1984. Temporal and Spatial Characteristics of Arizona DustStorm (1965-1980), Journal of Climatology, 4, 645-660.

Prokhorov, A.V. 2001. Kendall coefficient of rank correlation, in Hazewinkel Michiel, Encyclopedia of Mathematics, Springer.

Sneyers, R. 1990. On the statistical analysis of series of observations, WMO, No 415, Geneva.

Zarasvandi, A., Carranza, E. J. M., Moore, F., Rastmanesh, F. 2011. Spatio-temporal occurrences and mineralogical-geochemical characteristics of airborne dusts in Khuzestan Province (southwestern Iran), Journal of Geochemical Exploration, 111, 138-151.